

А. А. ХАЧАТРИАН

ЧИСТЫЙ ИЗГИБ ПРЯМОУГОЛЬНОЙ ПЛАСТИНКИ, ИЗГОТОВЛЕННОЙ ИЗ РАЗНОМОДУЛЬНОГО МАТЕРИАЛА

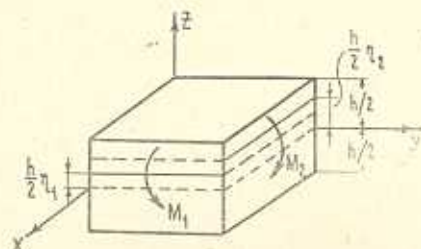
1. Рассмотрим прямоугольную пластинку, находящуюся под действием изгибающих моментов интенсивности $M_x = M_1$ и $M_y = M_2$, равномерно распределенных по ее краям (фиг. 1). Пусть пластинка изготовлена из разномодульного материала [1, 2] с упругими постоянными

$$a_{11} = \frac{1}{E^+}, \quad a_{22} = \frac{1}{E^-}, \quad a_{12} = -\frac{\nu^+}{E^+} = -\frac{\nu^-}{E^-}$$

Под действием указанных на фиг. 1 изгибающих моментов верхние слои пластинки растягиваются, а нижние — сжимаются. Следовательно, нормальные напряжения σ_x и σ_y по толщине пластинки меняют свои знаки, обращаясь в нуль где-то на уровне $z = \frac{h}{2}\tau_1$ и $z = \frac{h}{2}\tau_2$ соответственно.

Для определенности предположим $a_{22} > a_{11}$ ($E^+ > E^-$). Тогда очевидно, что τ_1 и τ_2 будут положительными и при $M_1 \neq M_2$ естественно считать, что $\tau_1 \neq \tau_2$. Для изложения удобно будет принять неравенство $\tau_2 > \tau_1$. В дальнейшем мы выясним, при каких соотношениях между моментами M_1 и M_2 это неравенство будет справедливым.

Таким образом, пластинка по толщине делится на следующие три области с различными знаками напряжений σ_x и σ_y :



Фиг. 1.

- 1) $-\frac{h}{2} < z < \frac{h}{2}\tau_1$ ($\sigma_x < 0, \sigma_y < 0$), 2) $\frac{h}{2}\tau_1 < z < \frac{h}{2}\tau_2$ ($\sigma_x > 0, \sigma_y < 0$),
- 3) $\frac{h}{2}\tau_2 < z < \frac{h}{2}$ ($\sigma_x > 0, \sigma_y > 0$).

Законы упругости для этих областей будут [1, 2]

$$\begin{aligned} e_x &= a_{22}\sigma_x + a_{12}\sigma_y & \text{при } -\frac{h}{2} < z < \frac{h}{2}\tau_1 \\ e_y &= a_{12}\sigma_x + a_{22}\sigma_y & \end{aligned}$$

$$\begin{aligned} e_x &= a_{11}\varepsilon_x + a_{12}\varepsilon_y && \text{при } -\frac{h}{2}\eta_1 < z < \frac{h}{2}\eta_1 \\ e_y &= a_{12}\varepsilon_x + a_{22}\varepsilon_y && \text{при } \frac{h}{2}\eta_2 < z < \frac{h}{2} \\ e_x &= a_{11}\varepsilon_x + a_{12}\varepsilon_y && \text{при } \frac{h}{2}\eta_2 < z < \frac{h}{2} \\ e_y &= a_{12}\varepsilon_x + a_{22}\varepsilon_y \end{aligned} \quad (1.1)$$

Принимая гипотезу Кирхгоффа-Лява, для компонент деформации будем иметь

$$e_x = \varepsilon_1 + zx_1 \quad e_y = \varepsilon_2 + zx_2 \quad (1.2)$$

где ε_i , x_i — деформации и изменения кривизн срединной поверхности ($z = 0$) пластиинки.

Подставляя (1.2) в (1.1) и решая относительно σ_x и σ_y , получим

$$\begin{aligned} \sigma_x &= \frac{a_{22}\varepsilon_1 - a_{12}\varepsilon_2}{a_{22}^2 - a_{12}^2} + z \frac{a_{22}x_1 - a_{12}x_2}{a_{22}^2 - a_{12}^2} && \text{при } -\frac{h}{2}\eta_1 < z < \frac{h}{2}\eta_1 \\ \sigma_y &= \frac{a_{22}\varepsilon_2 - a_{12}\varepsilon_1}{a_{22}^2 - a_{12}^2} + z \frac{a_{22}x_2 - a_{12}x_1}{a_{22}^2 - a_{12}^2} \\ \sigma_x &= \frac{a_{22}\varepsilon_1 - a_{12}\varepsilon_2}{a_{11}a_{22} - a_{12}^2} + z \frac{a_{22}x_1 - a_{12}x_2}{a_{11}a_{22} - a_{12}^2} && \text{при } \frac{h}{2}\eta_1 < z < \frac{h}{2}\eta_2 \\ \sigma_y &= \frac{a_{11}\varepsilon_2 - a_{12}\varepsilon_1}{a_{11}a_{22} - a_{12}^2} + z \frac{a_{11}x_2 - a_{12}x_1}{a_{11}a_{22} - a_{12}^2} \\ \sigma_x &= \frac{a_{11}\varepsilon_1 - a_{12}\varepsilon_2}{a_{11}^2 - a_{12}^2} + z \frac{a_{11}x_1 - a_{12}x_2}{a_{11}^2 - a_{12}^2} && \text{при } \frac{h}{2}\eta_2 < z < \frac{h}{2} \\ \sigma_y &= \frac{a_{11}\varepsilon_2 - a_{12}\varepsilon_1}{a_{11}^2 - a_{12}^2} + z \frac{a_{11}x_2 - a_{12}x_1}{a_{11}^2 - a_{12}^2} \end{aligned} \quad (1.3)$$

Эти напряжения должны быть непрерывными по высоте пластиинки, то есть они должны удовлетворять следующим условиям:

$$\sigma_x \Big|_{z=\frac{h}{2}\eta_1-0} = \sigma_x \Big|_{z=\frac{h}{2}\eta_1+0}, \quad \sigma_y \Big|_{z=\frac{h}{2}\eta_2-0} = \sigma_y \Big|_{z=\frac{h}{2}\eta_2+0} = 0 \quad (1.4)$$

Удовлетворяя условиям (1.4), находим

$$\begin{aligned} \varepsilon_1 &= - \left[\eta_1 x_1 + a_{12}(\eta_2 - \eta_1) \frac{a_{11}x_2 - a_{12}x_1}{a_{11}a_{22} - a_{12}^2} \right] \frac{h}{2} \\ \varepsilon_2 &= - \left[\eta_2 x_2 - a_{12}(\eta_2 - \eta_1) \frac{a_{22}x_1 - a_{12}x_2}{a_{11}a_{22} - a_{12}^2} \right] \frac{h}{2} \end{aligned} \quad (1.5)$$

Отметим, что при этом непрерывность напряжений σ_y (при $z = \frac{h}{2}\eta_1$) и σ_x (при $z = \frac{h}{2}\eta_2$) обеспечивается автоматически.

С учетом (1.5) выражения для напряжений (1.3) приведем к виду

$$\begin{aligned}\sigma_x &= \frac{a_{22}x_1 - a_{12}x_2}{a_{22}^2 - a_{12}^2} \left(z - \frac{h}{2} \eta_1 \right) \\ \sigma_y &= \frac{a_{22}x_2 - a_{12}x_1}{a_{22}^2 - a_{12}^2} \left(z - \frac{h}{2} \eta_1 \right) - \frac{a_{11}x_2 - a_{12}x_1}{a_{11}a_{22} - a_{12}^2} (\eta_2 - \eta_1) \frac{h}{2} \\ \text{при } & -\frac{h}{2} < z < \frac{h}{2} \eta_1 \\ \sigma_z &= \frac{a_{22}x_1 - a_{12}x_2}{a_{11}a_{22} - a_{12}^2} \left(z - \frac{h}{2} \eta_1 \right) \quad \text{при } \frac{h}{2} \eta_1 < z < \frac{h}{2} \eta_2 \\ \sigma_y &= \frac{a_{11}x_2 - a_{12}x_1}{a_{11}a_{22} - a_{12}^2} \left(z - \frac{h}{2} \eta_2 \right) \\ \sigma_x &= \frac{a_{11}x_1 - a_{12}x_2}{a_{11}^2 - a_{12}^2} \left(z - \frac{h}{2} \eta_2 \right) + \frac{a_{22}x_1 - a_{12}x_2}{a_{11}a_{22} - a_{12}^2} (\eta_2 - \eta_1) \frac{h}{2} \\ \sigma_y &= \frac{a_{11}x_2 - a_{12}x_1}{a_{11}^2 - a_{12}^2} \left(z - \frac{h}{2} \eta_2 \right) \\ \text{при } & \frac{h}{2} \eta_2 < z < \frac{h}{2}\end{aligned}\quad (1.6)$$

Эти напряжения в пластинке вызывают следующие усилия и моменты:

$$\begin{aligned}T_x &= \int \sigma_x dz = 0, \quad T_y = \int \sigma_y dz = 0 \\ M_x &= \int z \sigma_x dz = M_1, \quad M_y = \int z \sigma_y dz = M_2\end{aligned}\quad (1.7)$$

где интегрирование производится по всей толщине пластинки.

Подставляя значения напряжений из (1.6) в (1.7), получим следующую систему четырех уравнений относительно неизвестных x_1 , x_2 , η_1 и η_2 :

$$\begin{aligned}(a_{22}x_1 - a_{12}x_2) \left[\frac{(1 + \eta_1)^2}{a_{22}^2 - a_{12}^2} - (\eta_2 - \eta_1) \frac{2 - \eta_1 - \eta_2}{a_{11}a_{22} - a_{12}^2} \right] - \\ - (a_{11}x_1 - a_{12}x_2) \frac{(1 - \eta_2)^2}{a_{11}^2 - a_{12}^2} = 0 \\ (a_{11}x_2 - a_{12}x_1) \left[\frac{(1 - \eta_2)^2}{a_{11}^2 - a_{12}^2} - (\eta_2 - \eta_1) \frac{2 + \eta_1 + \eta_2}{a_{11}a_{22} - a_{12}^2} \right] - \\ - (a_{22}x_2 - a_{12}x_1) \frac{(1 + \eta_1)^2}{a_{22}^2 - a_{12}^2} = 0\end{aligned}\quad (1.8)$$

$$(a_{22}x_1 - a_{12}x_2) \left[\frac{(1 + \eta_1)^2(2 - \eta_1)}{a_{22}^2 - a_{12}^2} + \frac{3(\eta_2 - \eta_1) + \eta_1^3 - \eta_2^3}{a_{11}a_{22} - a_{12}^2} \right] + \\ + (a_{11}x_1 - a_{12}x_2) \frac{(1 - \eta_2)^2(2 + \eta_2)}{a_{11}^2 - a_{12}^2} = \frac{48}{h^3} M_1 \\ (a_{11}x_2 - a_{12}x_1) \left[\frac{(1 - \eta_2)^2(2 + \eta_2)}{a_{11}^2 - a_{12}^2} + \frac{3(\eta_2 - \eta_1) + \eta_1^3 - \eta_2^3}{a_{11}a_{22} - a_{12}^2} \right] + \\ + (a_{22}x_2 - a_{12}x_1) \frac{(1 + \eta_1)^2(2 - \eta_1)}{a_{22}^2 - a_{12}^2} = \frac{48}{h^3} M_2$$

Решение этой системы в общем виде связано с математическими трудностями. Однако, приведенный ниже некоторый качественный анализ вносит полную ясность в решение поставленной задачи.

С помощью первых двух уравнений последние два уравнения системы (1.8) можно представить в виде

$$\begin{aligned} a_{22}x_1 - a_{12}x_2 &= \frac{48}{h^3} \frac{M_1}{A_1} \\ a_{11}x_2 - a_{12}x_1 &= \frac{48}{h^3} \frac{M_2}{A_2} \end{aligned} \quad (1.9)$$

где

$$\begin{aligned} A_1 &= \frac{4(1 + \eta_1)^2}{a_{22}^2 - a_{12}^2} + (\eta_2 - \eta_1) \left[\frac{(1 + \eta_1)^2}{a_{22}^2 - a_{12}^2} - \frac{(1 - \eta_1)^2}{a_{11}a_{22} - a_{12}^2} \right] \\ A_2 &= \frac{4(1 - \eta_2)^2}{a_{11}^2 - a_{12}^2} - (\eta_2 - \eta_1) \left[\frac{(1 + \eta_2)^2}{a_{11}a_{22} - a_{12}^2} - \frac{(1 - \eta_2)^2}{a_{11}^2 - a_{12}^2} \right] \end{aligned} \quad (1.10)$$

Из (1.9) найдем

$$\begin{aligned} x_1 &= \frac{48}{(a_{11}a_{22} - a_{12}^2)h^3} \left(a_{11} \frac{M_1}{A_1} + a_{12} \frac{M_2}{A_2} \right) \\ x_2 &= \frac{48}{(a_{11}a_{22} - a_{12}^2)h^3} \left(a_{12} \frac{M_1}{A_1} + a_{22} \frac{M_2}{A_2} \right) \end{aligned} \quad (1.11)$$

Подставляя теперь значения x_1 и x_2 из (1.11) в первые два уравнения системы (1.8), получим следующую систему двух уравнений относительно η_1 и η_2 :

$$\begin{aligned} \left[\frac{(1 + \eta_1)^2}{a_{22}^2 - a_{12}^2} - \frac{(1 - \eta_1)^2}{a_{11}a_{22} - a_{12}^2} \right] \frac{M_1}{A_1} + \frac{a_{12}(a_{22} - a_{11})(1 - \eta_2)^2}{(a_{11}^2 - a_{12}^2)(a_{11}a_{22} - a_{12}^2)} \frac{M_2}{A_2} = 0 \\ \frac{a_{12}(a_{22} - a_{11})(1 + \eta_1)^2}{(a_{22}^2 - a_{12}^2)(a_{11}a_{22} - a_{12}^2)} \frac{M_1}{A_1} + \left[\frac{(1 + \eta_2)^2}{a_{11}a_{22} - a_{12}^2} - \frac{(1 - \eta_2)^2}{a_{11}^2 - a_{12}^2} \right] \frac{M_2}{A_2} = 0 \end{aligned} \quad (1.12)$$

Система (1.12) является однородной относительно M_1/A_1 и M_2/A_2 . Поэтому вместо одного из этих двух уравнений можно взять урав-

нение, получающееся при приравнивании нулю определителя системы (1.12). Тогда с учетом последнего преобразуется и другое уравнение и окончательно получим следующую систему для определения τ_1 и τ_2 :

$$\left[b^2 - \left(\frac{1 - \tau_1}{1 + \tau_1} \right)^2 \right] \left[\left(\frac{1 + \tau_2}{1 - \tau_2} \right)^2 - a^2 \right] = c^2 \quad (1.13)$$

$$\tau_2 = \tau_1 + \frac{4ab}{\mu c} \frac{b^2 - \frac{\mu bc}{a} - \left(\frac{1 - \tau_1}{1 + \tau_1} \right)^2}{b^2 + \frac{bc}{\mu a} - \left(\frac{1 - \tau_1}{1 + \tau_1} \right)^2}$$

Здесь

$$a = \sqrt{\frac{a_{11}a_{22} - a_{12}^2}{a_{11}^2 - a_{12}^2}}, \quad b = \sqrt{\frac{a_{11}a_{22} - a_{12}^2}{a_{22}^2 - a_{12}^2}}$$

$$c = -\frac{a_{12}(a_{22} - a_{11})}{\sqrt{(a_{11}^2 - a_{12}^2)(a_{22}^2 - a_{12}^2)}} = \sqrt{a^2b^2 - 1}, \quad \mu = \frac{M_2}{M_1} \quad (1.14)$$

причем из принятого выше предположения ($a_{22} > a_{11}$) следует, что $a > 1$, $b < 1$ и $c < 1$.

Прежде всего нас интересует существование и единственность решения системы (1.13) в интервале $0 < \tau_1 < \tau_2 < 1$. Для этого на плоскости τ_1 , τ_2 рассмотрим графики функций, выражаемых уравнениями (1.13). Первая представляет собой монотонно убывающую функцию в интервале $\lambda_0 < \tau_1 < 1$. Учитывая принятое выше предположение ($\tau_2 > \tau_1$), можно ограничиться исследованием функций в интервале (λ_0, λ_2) , где

$$\lambda_0 = \frac{1 - b}{1 + b}, \quad \lambda_2 = \frac{1 - \sqrt{\frac{b^2 - \frac{\mu bc}{a}}{a}}}{1 + \sqrt{\frac{b^2 - \frac{\mu bc}{a}}{a}}} < 1 \quad (1.15)$$

Вторая представляет собой монотонно возрастающую функцию в интервале $(\lambda_0, 1)$, причем для нее неравенство $\tau_2 > \tau_1$ выполняется при

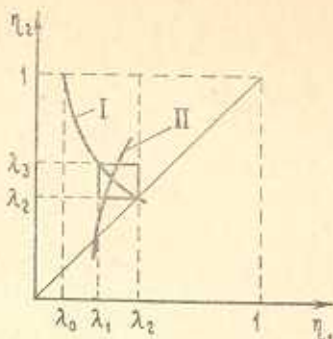
$$\tau_1 > \lambda_1 = \frac{1 - \sqrt{\frac{b^2 - \frac{\mu bc}{a}}{a}}}{1 + \sqrt{\frac{b^2 - \frac{\mu bc}{a}}{a}}} \quad (1.16)$$

Отсюда можно заключить, что графики рассматриваемых функций могут пересекаться в интервале (λ_0, λ_2) , если для λ_1 выполняется неравенство $\lambda_0 < \lambda_1 < \lambda_2$, причем это пересечение будет единственным. А из этого неравенства следует, что $0 < \mu < 1$, то есть $M_2 > M_1$.

Таким образом, если для материала пластинки $a_{22} > a_{11}$, то при $M_1 > M_2 > 0$ ($\mu < 1$) система (1.13) дает единственное решение, удовлетворяющее неравенству $\eta_1 > \eta_2 > 0$. Это решение заключено в прямоугольнике (фиг. 2), определяемом неравенствами

$$\lambda_1 < \eta_1 < \lambda_2, \quad \lambda_2 < \eta_2 < \lambda_3 = \frac{\sqrt{a^2 + \frac{ac}{\mu b}} - 1}{\sqrt{a^2 + \frac{ac}{\mu b}} + 1} \quad (1.17)$$

Очевидно, что при $M_2 > M_1 > 0$ и $a_{22} > a_{11}$ будем иметь $\eta_1 > \eta_2 > 0$. Если же $a_{22} < a_{11}$, то при положительных моментах M_1 и M_2 в принятой системе координат η_1 и η_2 будут отрицательными.



Фиг. 2.

Отметим, что для каждого конкретного материала и при заданных значениях моментов из системы (1.13) с любой точностью можно вычислить η_1 и η_2 . Далее с помощью приведенных выше формул можно вычислить все интересующие нас величины.

Ниже приведем некоторые частные случаи рассмотренной задачи, которые решаются до конца.

а) $M_1 = M_2 = M$

В этом случае очевидно, что $\eta_1 = \eta_2 = \eta$, $\varepsilon_1 = \varepsilon_2 = \varepsilon$, $x_1 = x_2 = x$. Поэтому

$$\sigma_x = \sigma_y = \varepsilon + zx = z \left(z - \frac{h}{2} \eta \right), \quad z = -\frac{h}{2} \eta x \quad (1.18)$$

$$\begin{aligned} \sigma_x = \sigma_y &= \frac{x}{a_{22} + a_{12}} \left(z - \frac{h}{2} \eta \right) \text{ при } -\frac{h}{2} < z < \frac{h}{2} \eta \\ \sigma_x = \sigma_y &= \frac{x}{a_{11} + a_{12}} \left(z - \frac{h}{2} \eta \right) \text{ при } \frac{h}{2} \eta < z < \frac{h}{2} \end{aligned} \quad (1.19)$$

Вычисляя теперь усилия и моменты, найдем

$$T_x = T_y = -\frac{xh^2}{8} \left[\frac{(1+\eta)^2}{a_{22} + a_{12}} - \frac{(1-\eta)^2}{a_{11} + a_{12}} \right] = 0 \quad (1.20)$$

$$M_x = M_y = \frac{xh^3}{48} \left[\frac{(1+\eta)^2(2-\eta)}{a_{22} + a_{12}} + \frac{(1-\eta)^2(2+\eta)}{a_{11} + a_{12}} \right] = M \quad (1.21)$$

С учетом (1.20) уравнение (1.21) можно представить в виде

$$\frac{x(1+\eta)^2 h^2}{12(a_{22} + a_{12})} = M \quad (1.22)$$

Из (1.20) можно вычислить η :

$$\eta = \frac{\sqrt{a_{22} + a_{12}} - \sqrt{a_{11} + a_{12}}}{\sqrt{a_{22} + a_{12}} + \sqrt{a_{11} + a_{12}}} \quad (1.23)$$

Учитывая (1.14), нетрудно показать, что в этом случае значение η (1.23) совпадает с λ_2 (1.15).

Из (1.22), учитывая (1.23), для κ найдем

$$\kappa = \frac{3M}{h^3} (\sqrt{a_{22} + a_{12}} + \sqrt{a_{11} + a_{12}})^2 \quad (1.24)$$

Подставляя теперь найденные значения η и κ в (1.18), для ε получим

$$\varepsilon = -\frac{3M}{2h^2} (a_{22} - a_{11}) \quad (1.25)$$

б) Цилиндрический изгиб бесконечной полосы.

Пусть пластиинка, бесконечно длинная по направлению оси y , изгибаются моментами $M_x = M$. В этом случае очевидно, что деформации по направлению y отсутствуют ($e_y = 0$). Поэтому

$$e_x = \varepsilon_1 + z\gamma_1 = \gamma_1 \left(z - \frac{h}{2}\eta \right), \quad \varepsilon_1 = -\frac{h}{2}\gamma_1 \quad (1.26)$$

$$\gamma_x = \frac{a_{22}\gamma_1}{a_{22}^2 - a_{12}^2} \left(z - \frac{h}{2}\eta \right), \quad \sigma_y = -\frac{a_{12}}{a_{22}} \sigma_x \text{ при } -\frac{h}{2} < z < \frac{h}{2}\eta \quad (1.27)$$

$$\gamma_x = \frac{a_{11}\gamma_1}{a_{11}^2 - a_{12}^2} \left(z - \frac{h}{2}\eta \right), \quad \sigma_y = -\frac{a_{12}}{a_{11}} \sigma_x \text{ при } \frac{h}{2}\eta < z < \frac{h}{2}$$

Вычисляя усилия и моменты, найдем

$$T_x = -\frac{\gamma_1 h^2}{8} \left[\frac{a_{22}(1+\eta)^2}{a_{22}^2 - a_{12}^2} - \frac{a_{11}(1-\eta)^2}{a_{11}^2 - a_{12}^2} \right] = 0 \quad (1.28)$$

$$M_x = \frac{\gamma_1 h^3}{48} \left[\frac{a_{22}(1+\eta)^2(2-\eta)}{a_{22}^2 - a_{12}^2} + \frac{a_{11}(1-\eta)^2(2+\eta)}{a_{11}^2 - a_{12}^2} \right] = M \quad (1.29)$$

С учетом (1.28) уравнение (1.29) приведем к виду

$$\frac{\gamma_1(1+\eta)^2 a_{22} h^3}{12(a_{22}^2 - a_{12}^2)} = M \quad (1.30)$$

Из (1.28) для η получим

$$\eta = \frac{\sqrt{a_{11}(a_{22}^2 - a_{12}^2)} - \sqrt{a_{22}(a_{11}^2 - a_{12}^2)}}{\sqrt{a_{11}(a_{22}^2 - a_{12}^2)} + \sqrt{a_{22}(a_{11}^2 - a_{12}^2)}} \quad (1.31)$$

Из (1.30), учитывая (1.31), имеем

$$\gamma_1 = \frac{3M}{h^3} \left(\sqrt{\frac{a_{22}^2 - a_{12}^2}{a_{22}}} + \sqrt{\frac{a_{11}^2 - a_{12}^2}{a_{11}}} \right)^2 \quad (1.32)$$

Подставляя найденные значения η и x_1 в (1.26), для ε_1 получим

$$\varepsilon_1 = \frac{3M}{2a_{11}a_{22}h^2} (a_{22} - a_{11})(a_{11}a_{22} + a_{12}^2) \quad (1.33)$$

Вычислив теперь усилия и момент в сечениях, перпендикулярных к оси y , получим

$$T_y = -\frac{3a_{12}(a_{22} - a_{11})}{2a_{11}a_{22}h} M, \quad M_x = -\frac{a_{12}M}{4a_{11}a_{22}} [2(a_{11} + a_{22}) + \eta(a_{22} - a_{11})] \quad (1.34)$$

Как видно из формул (1.34), в отличие от обычного материала ($a_{11} = a_{22}$), в этом случае при цилиндрическом изгибе в продольном направлении появляется тангенциальное усилие.

в) Чистый изгиб узкой полосы (балки).

Пусть пластинка по направлению y имеет малую ширину и изгибаются моментами $M_x = M$. В этом случае фактически мы имеем дело с изгибом балки и поэтому естественно считать, что в сечениях, перпендикулярных к оси y , напряжения отсутствуют ($\sigma_y = 0$).

Тогда будем иметь

$$\varepsilon_x = \varepsilon_1 + zx_1 = x_1 \left(z - \frac{h}{2}\eta \right), \quad \varepsilon_1 = -\frac{h}{2}\eta x_1 \quad (1.35)$$

$$\begin{aligned} \sigma_x &= \frac{x_1}{a_{22}} \left(z - \frac{h}{2}\eta \right) \quad \text{при } -\frac{h}{2} < z < \frac{h}{2}\eta \\ \sigma_x &= \frac{x_1}{a_{11}} \left(z - \frac{h}{2}\eta \right) \quad \text{при } \frac{h}{2}\eta < z < \frac{h}{2} \end{aligned} \quad (1.36)$$

Вычисляя усилия и моменты, найдем

$$T_x = -\frac{x_1 h^2}{8} \left[\frac{(1+\eta)^2}{a_{22}} - \frac{(1-\eta)^2}{a_{11}} \right] = 0 \quad (1.37)$$

$$M_x = \frac{x_1 h^3}{48a_{11}a_{22}} [a_{11}(1+\eta)^2(2-\eta) + a_{22}(1-\eta)^2(2+\eta)] = M \quad (1.38)$$

С учетом (1.37) уравнение (1.38) приведем к виду

$$\frac{x_1(1+\eta)^2h^3}{12a_{22}} = M \quad (1.39)$$

Из (1.37) для η получим

$$\eta = \frac{\sqrt{a_{22}} - \sqrt{a_{11}}}{\sqrt{a_{22}} + \sqrt{a_{11}}} \quad (1.40)$$

Из (1.39), с учетом (1.40), имеем

$$x_1 = \frac{3M}{h^3} (\sqrt{a_{22}} + \sqrt{a_{11}})^2 \quad (1.41)$$

Отметим, что формула (1.41) впервые была получена С. П. Тимошенко [3].

2. Рассмотрим изгиб прямоугольной пластиинки под действием изгибающих моментов с различными знаками: $M_x = M_1$, $M_y = -M_2$ (фиг. 3).

Следует отметить, что при таком нагружении имеем новую задачу, существенно отличную от предыдущего случая. Однако, ход решения задачи не отличается от предыдущего, в связи с чем некоторые подробности не приводятся.

Здесь также предполагая $a_{22} > a_{11}$, нетрудно заметить, что пластиинка по толщине делится на следующие три области с различными знаками напряжений σ_x и σ_y :

$$1) -\frac{h}{2} \eta_2 < z < -\frac{h}{2} \eta_1 \quad (\sigma_x < 0, \sigma_y > 0),$$

$$2) -\frac{h}{2} \eta_2 < z < \frac{h}{2} \eta_1 \quad (\sigma_x < 0, \sigma_y < 0), \quad 3) \quad \frac{h}{2} \eta_1 < z < \frac{h}{2} \eta_2 \quad (\sigma_x > 0, \sigma_y < 0).$$

Принимая гипотезу Кирхгоффа-Лява (1.2), законы упругости для этих областей можно привести к виду

$$\sigma_x = \frac{a_{11}\gamma_1 - a_{12}\gamma_2}{a_{11}a_{22} - a_{12}^2} \left(z + \frac{h}{2} \eta_2 \right) - \frac{a_{22}\gamma_1 - a_{12}\gamma_2}{a_{22}^2 - a_{12}^2} (\eta_1 + \eta_2) \frac{h}{2}$$

$$\sigma_y = \frac{a_{22}\gamma_2 - a_{12}\gamma_1}{a_{11}a_{22} - a_{12}^2} \left(z + \frac{h}{2} \eta_2 \right)$$

$$\text{при } -\frac{h}{2} \eta_2 < z < -\frac{h}{2} \eta_1$$

$$\sigma_x = \frac{a_{22}\gamma_1 - a_{12}\gamma_2}{a_{22}^2 - a_{12}^2} \left(z - \frac{h}{2} \eta_1 \right)$$

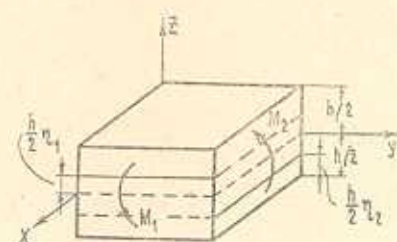
$$\text{при } -\frac{h}{2} \eta_1 < z < \frac{h}{2} \eta_2 \quad (2.1)$$

$$\sigma_y = \frac{a_{22}\gamma_2 - a_{12}\gamma_1}{a_{22}^2 - a_{12}^2} \left(z + \frac{h}{2} \eta_2 \right)$$

$$\sigma_x = \frac{a_{22}\gamma_1 - a_{12}\gamma_2}{a_{11}a_{22} - a_{12}^2} \left(z - \frac{h}{2} \eta_1 \right)$$

$$\sigma_y = \frac{a_{11}\gamma_2 - a_{12}\gamma_1}{a_{11}a_{22} - a_{12}^2} \left(z - \frac{h}{2} \eta_1 \right) + \frac{a_{22}\gamma_2 - a_{12}\gamma_1}{a_{22}^2 - a_{12}^2} (\eta_1 + \eta_2) \frac{h}{2}$$

$$\text{при } \frac{h}{2} \eta_1 < z < \frac{h}{2}$$



Фиг. 3.

При этом для компонент деформации срединной поверхности пластиинки будем иметь

$$\begin{aligned} \varepsilon_1 &= - \left[\eta_1 x_1 - a_{12}(\eta_1 + \eta_2) \frac{a_{22}x_2 - a_{12}x_1}{a_{22}^2 - a_{12}^2} \right] \frac{h}{2} \\ \varepsilon_2 &= \left[\eta_2 x_2 - a_{12}(\eta_1 + \eta_2) \frac{a_{22}x_1 - a_{12}x_2}{a_{22}^2 - a_{12}^2} \right] \frac{h}{2} \end{aligned} \quad (2.2)$$

Вычисляя теперь усилия и моменты и учитывая, что $T_x = T_y = 0$, $M_x = M_1$, $M_y = -M_2$, получим следующую систему четырех уравнений относительно неизвестных x_1 , x_2 , η_1 и η_2 :

$$\begin{aligned} (a_{22}x_1 - a_{12}x_2) \left[\frac{(1 - \eta_1)^2}{a_{11}a_{22} - a_{12}^2} - (\eta_1 + \eta_2) \frac{2 + \eta_1 - \eta_2}{a_{22}^2 - a_{12}^2} \right] - \\ - (a_{11}x_1 - a_{12}x_2) \frac{(1 - \eta_2)^2}{a_{11}a_{22} - a_{12}^2} = 0 \\ (a_{22}x_2 - a_{12}x_1) \left[\frac{(1 - \eta_2)^2}{a_{11}a_{22} - a_{12}^2} - (\eta_1 + \eta_2) \frac{2 - \eta_1 + \eta_2}{a_{22}^2 - a_{12}^2} \right] - \\ - (a_{11}x_2 - a_{12}x_1) \frac{(1 - \eta_1)^2}{a_{11}a_{22} - a_{12}^2} = 0 \quad (2.3) \\ (a_{22}x_1 - a_{12}x_2) \left[\frac{(1 - \eta_1)^2(2 + \eta_1)}{a_{11}a_{22} - a_{12}^2} + \frac{3(\eta_1 + \eta_2) - \eta_1^3 - \eta_2^3}{a_{22}^2 - a_{12}^2} \right] + \\ + (a_{11}x_1 - a_{12}x_2) \frac{(1 - \eta_2)^2(2 + \eta_2)}{a_{11}a_{22} - a_{12}^2} = \frac{48}{h^3} M_1 \\ (a_{22}x_2 - a_{12}x_1) \left[\frac{(1 - \eta_2)^2(2 + \eta_2)}{a_{11}a_{22} - a_{12}^2} + \frac{3(\eta_1 + \eta_2) - \eta_1^3 - \eta_2^3}{a_{22}^2 - a_{12}^2} \right] + \\ + (a_{11}x_2 - a_{12}x_1) \frac{(1 - \eta_1)^2(2 + \eta_1)}{a_{11}a_{22} - a_{12}^2} = -\frac{48}{h^3} M_2 \end{aligned}$$

С учетом первых двух уравнений последние два уравнения системы (2.3) можно представить в виде

$$\begin{aligned} a_{22}x_1 - a_{12}x_2 &= \frac{48}{h^3} \frac{M_1}{B_1} \\ a_{22}x_2 - a_{12}x_1 &= -\frac{48}{h^3} \frac{M_2}{B_2} \end{aligned} \quad (2.4)$$

где

$$\begin{aligned} B_1 &= \frac{4(1 - \eta_1)^2}{a_{11}a_{22} - a_{12}^2} - (\eta_1 + \eta_2) \left[\frac{(1 + \eta_1)^2}{a_{22}^2 - a_{12}^2} - \frac{(1 - \eta_1)^2}{a_{11}a_{22} - a_{12}^2} \right] \\ B_2 &= \frac{4(1 - \eta_2)^2}{a_{11}a_{22} - a_{12}^2} - (\eta_1 + \eta_2) \left[\frac{(1 + \eta_2)^2}{a_{22}^2 - a_{12}^2} - \frac{(1 - \eta_2)^2}{a_{11}a_{22} - a_{12}^2} \right] \end{aligned} \quad (2.5)$$

Из (2.4) получим

$$\begin{aligned} x_1 &= \frac{48}{(a_{22}^2 - a_{12}^2) h^3} \left(a_{22} \frac{M_1}{B_1} - a_{12} \frac{M_2}{B_2} \right) \\ x_2 &= -\frac{48}{(a_{22}^2 - a_{12}^2) h^3} \left(a_{22} \frac{M_2}{B_2} - a_{12} \frac{M_1}{B_1} \right) \end{aligned} \quad (2.6)$$

Подставляя (2.6) в первые два уравнения системы (2.3), получим

$$\begin{aligned} \left[\frac{(1+\eta_1)^2}{a_{22}^2 - a_{12}^2} - \frac{(1-\eta_1)^2}{a_{11}a_{22} - a_{12}^2} \right] \frac{M_1}{B_1} + \frac{a_{12}(a_{22} - a_{11})(1-\eta_2)^2}{(a_{11}a_{22} - a_{12}^2)(a_{22}^2 - a_{12}^2)} \frac{M_2}{B_2} &= 0 \\ \frac{a_{12}(a_{22} - a_{11})(1-\eta_1)^2}{(a_{11}a_{22} - a_{12}^2)(a_{22}^2 - a_{12}^2)} \frac{M_1}{B_1} + \left[\frac{(1+\eta_2)^2}{a_{22}^2 - a_{12}^2} - \frac{(1-\eta_3)^2}{a_{11}a_{22} - a_{12}^2} \right] \frac{M_2}{B_2} &= 0 \end{aligned} \quad (2.7)$$

Эта система однородная относительно M_1/B_1 и M_2/B_2 .

Поступая аналогично предыдущему случаю, окончательно получим следующую систему для определения η_1 и η_2 :

$$\begin{aligned} \left[\left(\frac{1+\eta_1}{1-\eta_1} \right)^2 - m^2 \right] \left[\left(\frac{1+\eta_2}{1-\eta_2} \right)^2 - m^2 \right] &= n^2 \\ \eta_1 + \eta_2 = \frac{4m^2}{\mu n} \frac{\left(\frac{1+\eta_1}{1-\eta_1} \right)^2 - (m^2 + \mu n)}{\left(m^2 + \frac{n}{\mu} \right) - \left(\frac{1+\eta_1}{1-\eta_1} \right)^2} \end{aligned} \quad (2.8)$$

Здесь

$$m = \sqrt{\frac{a_{22}^2 - a_{12}^2}{a_{11}a_{22} - a_{12}^2}}, \quad n = -\frac{a_{12}(a_{22} - a_{11})}{a_{11}a_{22} - a_{12}^2}, \quad \mu = \frac{M_2}{M_1} \quad (2.9)$$

причем, согласно предположению $a_{22} > a_{11}$, имеем $m > 1$, $n < 1$.

На плоскости η_1 , η_2 рассмотрим графики функций, выражаемых уравнениями (2.8). Рассмотрим пока случай $\mu < 1$. Здесь можно ограничиться исследованием функций в интервале (ξ_0, ξ_2) , где

$$\xi_0 = \frac{\sqrt{m^2 + \mu n} - 1}{\sqrt{m^2 + \mu n} + 1}, \quad \xi_2 = \frac{\sqrt{m^2 + \frac{n}{\mu}} - 1}{\sqrt{m^2 + \frac{n}{\mu}} + 1} \quad (2.10)$$

поскольку, как видно из второго уравнения (2.8), только в этом интервале выполняется неравенство $\eta_1 + \eta_2 > 0$.

В указанном интервале первая из (2.8) представляет собой монотонно убывающую функцию, график которой симметрично расположен относительно биссектрисы координатного угла $\eta_2 = \eta_1$ и пересекается с ней при $\eta_1 = \xi_1$

$$\xi_1 = \frac{\sqrt{m^2 + n} - 1}{\sqrt{m^2 + n} + 1} \quad (2.11)$$

Приведем значения этой функции при указанных характерных значениях аргумента

$$\eta_2(\xi_0) = \xi_2, \quad \eta_2(\xi_1) = \xi_1, \quad \eta_2(\xi_2) = \xi_0 \quad (2.12)$$

В рассматриваемом интервале вторая из (2.8) представляет собой (при $\mu < 1$) монотонно возрастающую функцию и при указанных характерных значениях аргумента принимает следующие значения:

$$\eta_2(\xi_0) = -\xi_0, \quad \eta_2(\xi_1) = \frac{4m^2}{n} - \xi_1, \quad \eta_2(\xi_2 - 0) = +\infty \quad (2.13)$$

Исходя из (2.9), можно показать, что $m^2 > 2(2 + \sqrt{3})n > 7n$. Тогда для $\eta_2(\xi_1)$ (2.13) будем иметь

$$\eta_2(\xi_1) = \frac{4m^2}{n} - \xi_1 > 28 - \xi_1 \gg \xi_1$$

На основании приведенного выше можно заключить, что графики рассматриваемых функций при принятых предположениях пересекаются в интервале (ξ_0, ξ_1) .

Таким образом, если для материала пластинки $a_{22} > a_{11}$, то при $M_1 > M_2$ ($\mu < 1$) система (2.8) дает единственное решение, удовлетворяющее неравенству $\eta_2 > \eta_1$. Это решение заключено в прямоугольнике (фиг. 4), определяемом неравенствами

$$\xi_0 < \eta_1 < \xi_1, \quad \xi_1 < \eta_2 < \xi_2$$

Очевидно, что при $M_2 > M_1$ ($\mu > 1$) и $a_{22} > a_{11}$ будем иметь $\eta_1 > \eta_2$.

Рассмотрим частный случай, когда $M_1 = M_2 = M$. В этом случае очевидно, что $\eta_1 = \eta_2 = \eta$. Однако, в отличие от рассмотренных выше частных случаев, здесь по толщине пластинки имеем три области с различными знаками напряжений.

Записывая соответствующие уравнения и соотношения (их не будем приводить), замечаем, что в этом случае

$$\eta_1 = -x_2 = x, \quad \varepsilon_1 = \xi_2 = \varepsilon = -\frac{a_{22} - a_{12}}{a_{22} + a_{12}} \times \eta \frac{h}{2}$$

При этом уравнения для определения η и x существенно упрощаются и мы находим

$$\eta = \frac{\sqrt{m^2 + n} - 1}{\sqrt{m^2 + n} + 1} = \xi_1, \quad x = \frac{6M}{h^3} (a_{22} - a_{12}) \frac{(\sqrt{m^2 + n} + 1)^2}{2m^2 - n\xi_1}$$

$$\varepsilon = -\frac{3M}{h^2} (a_{22} + a_{12}) \frac{m^2 + n - 1}{2m^2 - n\xi_1}$$

Ա. Ա. ԽԱՉԱՏՐՅԱՆ

**ՏԱՐԱՄՈԴՈՒՆԻ ԵՅՈՒԹԻՑ ՊԱՏՐԱՍՎԱԾ ՈՒՂՂԱԿԱՅՈՒՆ ՍԱԾԻ ՄԱՔՈՒՐ
ԾՈՌՈՒՐԸ**

Ա. Ճ Փ Ո Փ Ո Ւ մ

Դիտարկված է տարամոդունի յյութից պատրաստված ուղղանկյուն սալի ծովան խնդիրը, երբ փոխուղղահայաց եպրերում աղդող մոմենտները միևնույն նշանի են և երբ նրանք նշանով տարրեր են: Բերված են մի շարք մասնավոր դեսպեր, որոնց համար ստացված են վերջնական բանաձեռք:

**PURE BENDING OF A RECTANGULAR PLATE MADE OF
HETEROMODULUS MATERIALS**

Ա. Ա. ԽԱՉԱՏՐՅԱՆ

Տ ս մ մ ա ր յ

Bending by moments acting on reciprocally perpendicular sides of a rectangular plate made of heteromodulus materials is considered. Some particular cases are presented for which final formulas are obtained.

Լ Ի Տ Ե Ր Ա Տ Ո Ր Ա

1. Ամբարցման Ս. Ա., Խաչատրյան Ա. Ա. Основные уравнения теории упругости для материалов, разноопротивляющихся растяжению и сжатию. Инж. ж., МТТ, № 2, 1966.
2. Ամբարցման Ս. Ա., Խաչատրյան Ա. Ա. К разномодульной теории упругости. Инж. ж., МТТ, № 6, 1966.
3. Тимошенко С. П. Сопротивление материалов, ч. 1. Госиздат, М.-Л., 1933.